

I206 74-15 (1)

配布限定

本資料は 年 月 日付で登録区分、
変更する。

2001. 7. 31

[技術情報室]

分 置

F C Aバンチング実験データの解析 (1/2)

1974年4月

三菱原子力工業株式会社

本資料の全部または一部を複写・複製・転載する場合は、下記にお問い合わせください。

〒319-1184 茨城県那珂郡東海村大字村松4番地49
核燃料サイクル開発機構
技術展開部 技術協力課

Inquiries about copyright and reproduction should be addressed to:
Technical Cooperation Section,
Technology Management Division,
Japan Nuclear Cycle Development Institute
4-49 Muramatsu, Tokai-mura, Naka-gun, Ibaraki, 319-1184
Japan

© 核燃料サイクル開発機構 (Japan Nuclear Cycle Development Institute)

るものです。

なお、この資料の供覧、複製、転載、引用等には事業団の承認が必要です。

FCA バンチング実験データの解析

要旨



非均質セル計算コードMURALと約2000群のライブラリーFGL5を用いてFCA VI-1炉心、VI-2炉心でのバンチング実験の解析を行なった。計算方法にはMURAL計算から得られた37群セル平均断面積を用いて12群二次元拡散と摂動計算及び二次元輸送計算を行なった。

FCA VI-1炉心の実効増倍率のC/Eは 0.9999 ± 0.0007 を得た。T-AセルからT-Bセルへのバンチング反応度の計算値は $1.012\% \Delta k/k$ で、実験値 $1.023 \pm 0.020\% \Delta k/k$ と良い一致を示している。

FCA VI-2炉心の実効増倍率のC/Eは 1.0025 ± 0.0003 を得た。T-AセルからT-Gセルへのバンチング反応度の計算値は $0.388\% \Delta k/k$ で、実験値 ~~$0.292 \pm 0.010\% \Delta k/k$~~
 0.314 をやや過大評価している。

二つのバンチング実験解析に基づいてFCA炉心の非均質効果の計算精度は $\pm 0.1\% \Delta k$ と考えられる。

1974年4月

関 雄 次 ** 小林 隆 俊 **
佐々木 誠 ** 長田 和 子 **

* 本報告書は、三菱原子力工業株式会社が動力炉核燃料開発事業団の委託により実施した研究の成果である。

** 三菱原子力工業株式会社 動力炉開発部

Analysis of FCA Bunching Experiments

Abstract

Analysis of bunching experiments in FCAVI-1 and VI-2 has been made using the multi plates cell calculation code MURAL and 2000 groups library FGL5.

The calculation method is 12 groups 2D-RZ diffusion and transport calculation using 37 groups cell averaged cross section obtained by Mural run.

The calculation to experiment ratio C/E of FCA VI-1 criticality factor is 0.9999 ± 0.0007 . Calculated bunching reactivity from T-A to T-B cell is $1.012\% \Delta k/k$, showing good agreement with the experiment $1.0025 \pm 0.0003\% \Delta k/k$.

The C/E of FCA VI-2 criticality factor is 1.0025 ± 0.0003 . Calculated bunching reactivity from T-A to T-G cell is $0.388\% \Delta k/k$, rather overpredicting the experiment $\frac{0.292 \pm 0.010}{0.314} \% \Delta k/k$.

On the basis of the analysis, the accuracy of prediction of heterogeneity effect in FCA is considered to be $\pm 0.1\% \Delta k$.

April, 1974

y u j i S e k i

Takatoshi Kobayashi

Makoto Sasaki

Kazuko Nagato

Mitsubishi Atomic Power
Industries, Inc.

*) The work performed under the contract between Power Reactor and Nuclear Fuel Development Corporation and Mitsubishi Atomic Power Industries, Inc.

目 次

	頁
要 約	I
Abstract	II
まえがき	1
I 基準計算法	3
II FCA VI-1 炉心の解析	5
(1) 実効増倍率	5
(2) バンチング反応度	5
(3) 摂動計算による検討	6
(4) 輸送計算による検討	6
III FCA VI-2 炉心の解析	7
(1) 実効増倍率及びバンチング反応度	7
VI MURALによるセル計算モデルの検討	8
あとがき	9
謝 辞	38
参考文献	38

表リスト

- 第 1 表 MURAL 基準計算使用オプション
- 第 2 表 MURAL 37群と縮約12群の群分割
- 第 3 表 拡散計算結果
- 第 4 表 核分裂スペクトル(12群)
- 第 5 表 実効増倍率計算値と実験値との比較(FCA VI-1, VI-2 炉心)
- 第 6 表 バンチング反応度計算値と実験値との比較
- 第 7 表 セル平均中性子束に対するプレート内平均中性子束の比(VI-1, T-A cell)
- 第 8 表 セル平均中性子束に対するプレート内平均中性子束の比(VI-1, T-B cell)
- 第 9 表 均質および非均質マクロ断面積の比較
- 第 10 表 非均質モデルでのT-A, T-Bセルのマクロ断面積
- 第 11 表 k_{eff} に対するT-Aセルの非均質効果 $\Delta k/k$ (2D-RZ 摂動計算)
- 第 12 表 k_{eff} に対するTB-TAのバンチング効果 (2D-RZ 摂動計算)
- 第 13 表 輸送計算による実効増倍率
- 第 14 表 セル平均中性子束に対するプレート内平均中性子束の比
(FCA VI-2, T-Aセル, T-Gセル)
- 第 15 表 均質および非均質マクロ断面積(FCA VI-2, T-A, 12群)
- 第 16 表 k_{eff} に対するT-Aセルの非均質効果(FCA VI-2) (2D-RZ 摂動計算)
- 第 17 表 非均質モデルのT-A, T-Gセルのマクロ断面積(FCA VI-2, 12群)
- 第 18 表 k_{eff} に対するTG-TAのバンチング効果 (2D-RZ 摂動計算)
- 第 19 表 MURAL計算モデルの検討(12群マクロ断面積の比較)
- 第 20 表 MURAL計算モデルの検討(実効増倍率に対する効果)

図　　ス　　ト

第 1 図 FCA VI-1 廉心 RZ 体系

第 2 図 FCA VI-2 廉心 RZ 体系

第 3 図 計算の流れ図

第 4 図 FCA VI-1 廉心 T-A セルの領域モデル

第 5 図 FCA VI-2 廉心 T-B セルの領域モデル

第 6 図 FCA VI-2 廉心 T-A セル(基準モデル)

第 7 図 FCA VI-2 廉心 T-G セル

第 8 図 FCA VI-1 廉心の中性子束分布

第 9 図 FCA VI-1 廉心の Adjoint 中性子束分布

第 10 図 FCA VI-2 廉心の中性子束分布

第 11 図 FCA VI-2 廉心の Adjoint 中性子束分布

第 12 図 T-A セルの詳細モデル(FCA VI-2)

第 13 図 Pu ブルートの取扱い検討用モデル(FCA VI-2, T-A)

ま　え　が　き

もんじゅのフルモックアップ実験が英国ZEBRA炉心を用いて行なわれ、既に英國の核定数と計算手法を用いた実験解析結果がMTNレポートとして報告されている。この英國の核計算手法の中で最も特徴的なものは、多群非均質セル計算コードMURAL^{<1><2>}と、そのライブラリーFGL-5^{<3><4>}であろう。MURALは、セル内の多領域プレート構造をpij法によって詳細に取扱って約2,000群のFGLライブラリーを用いて、非均質体系の実効断面積を計算するコードである。2,000群内のresonance self shieldingの近似的取扱い法についても、更により詳細な計算コードSDRとの比較を行なって、その近似法の精度を確認している^{<5>}点で、信頼性の高いものと考えられる。^{<注>1}

従って、国内で使用されている26群ベースの解析手法との比較を行なってその精度の検証に用いたり、またFGL-5と国内でのライブラリーとの比較を行なって核定数の改善に用いるなど、今後役立てる点は多いと考えられる。

ここでは、MURAL-FGL-5の整備^{<注>2}に引続いて、臨界量に対して最も重要な補正量のひとつである非均質効果の計算精度の確認のために、FCA VI-1炉心、VI-2炉心体系でのパンチング実験^{<6><7>}の解析をMURAL-FGL-5を用いて行なった結果を報告する。なおFCA VI-1炉心でのパンチング実験解析は既に日立製作所より、モーツアルト実験解析ステップ2において解析が行なわれている。^{<8>} 従って、MURALの解析結果をまとめるにあたって、なるべく比較し易い形でまとめるよう留意した。

以下、第I章では、FCA VI-1、VI-2^{<注>3}の解析に採用した基準の計算法について述べる。第II章では、FCA VI-1炉心での実効増倍率と種々の補正計算、テスト領域でのパンチング(T-A → T-B)実験解析、及び輸送計算による検討について述べる。第III章は、FCA VI-2炉心に関してパンチング実験(T-A → T-G)を解析している。第IV章では、MURALの計算モデルについて領域分けの問題、プレート格子引出しのモデル化、セル計算時のバッククリングの取扱い等の影響を検討している。

<注>1 但し、国内での解析でその重要性が確認されつつある、いわゆるストリーミングに対する非均質効果については考慮されていない。

<注>2 MURAL(FGL4)は既にPNC R&DグループによりIBMセンターで整備されていたが、^{<2>}これをFGL-5用に再整備する作業を協同で行った。FGL-5用MURALプログラムのロードモジュール作成法、インプット方法については本報告書分冊

(2 / 2) にまとめた。

<注> 3 VI - 1 廉心 Pu^{241} 崩壊の補正済
VI - 2 廉心 資料<7>の Pu^{241} 原子力密度 0.00092 に訂正。

I 基準計算法

F C A - VI - 1 炉心は第 1 図に示されるように、テスト領域炉心 (Pu 燃料プレートと U 燃料プレートセル) とドライバー領域炉心 (U プレート) とから構成され、半径方向プランケットは天然ウランの均質ブロック、軸方向プランケットは減損ウランの均質ブロックである。F C A VI - 2 炉心は燃料プレート構成と炉心サイズが VI - 1 とは異なっており、これは第 2 図に示されている。

解析に用いた計算の流れ図を第 3 図に示す。まず M U R A L コードにより均質計算あるいは非均質多領域プレート計算を実行する。37 群のセル平均断面積を各領域毎に作っておき、これを一次元拡散円柱計算により 12 群に縮約している。この 12 群断面積を用いて二次元拡散、擾動計算及び輸送計算を行なっている。

(1) M U R A L 計算モデル

M U R A L 計算の際に用いた option を第 1 表に示す。炉心セルでは $k_{eff} = 1.000$ としてバッククリングサーチを行うがプランケットでは $B^2 = 0.0$ とした。

非均質計算の場合のプレート及びキャン等の取扱いについて述べる。第 4 図に、VI - 1 炉心 T - A セルパターンと M U R A L 計算に用いた領域分けを示したが、Pu プレートについては Pu ミートを 1 領域とし、キャンは隣接する他のプレート内に均質化して扱った。但し、側面部分のキャンはミート内に均質化した。キャンを他のプレートに混合した効果を見るために、第 IV 章で F C A - VI - 2 の T - A セルについてより詳しく領域分けを行って計算を行なったものと基準計算とを比較しているが、非均質効果に対して 0.007% Δ K の極めて小さな差しか生じない。

格子管と引出しが参考資料 ^{<6>} に示されるような構造になっているので、格子管の 2/4 部分と引出しの 1/3 部分は各プレートに一様に溶かし込む方法を取った。

なお、非均質計算はテスト領域のみ行ない、ドライバー領域は均質で取扱った。 ^{<注>}

(2) 一次元縮約計算 (ODD コード)

一次元拡散円柱計算により 37 群定数を 12 群に縮約した。計算メッシュ数は二次元 R Z 計算の R 方向メッシュの約 2 倍とし、軸方向バッククリングは $5.71 \times 10^{-4} \text{ cm}^{-2}$ の一定値を用いた。

第 2 表に 12 群の群分割を示した。これは VI - 1 炉心 T - A セルで、吸収量 $\int \Sigma a(E) \phi(E) dE$ がなるべく正しく求まるように分割点を定めたものである。縮約はテスト領域、ドライバー領域、半径プランケットの各領域毎に行い、特に縮約用の領域を設けることはしなかった。また、軸方向プランケットは半径方向プランケットのスペクトルを用いて縮約したが組成が類似しているので、この影響は小さいと考えられる。

縮約にあたっては (n 、 $2n$) 反応を正しく取り扱って $\Sigma_{s,r}$ 、 $\Sigma_{s,i \rightarrow j}$ を縮約している。

これについては TWOTRAN 計算を行う際に注意が必要であった。

(3) 二次元拡散計算 (HANYO コード)

既に示したように、VI-1 廉心は、第1図のように RZ 28×26 メッシュ、VI-2 廉心は第2図のように RZ 30×26 メッシュ計算である。このメッシュを fine mesh と呼ぶが、計算に際してこれの丁度倍荒いメッシュ (coarse mesh)、即ちそれぞれ 14×13 メッシュ、 15×13 メッシュの計算も flux guess を作る関係で自働的に計算を行なっている。実効増倍率に対するメッシュ補正の際に、この coarse mesh の keff と fine mesh の keff とを用いて無限に細かいメッシュへ外挿している。

各領域の核分裂スペクトルには、TWOTRAN コードが一種類のスペクトルしか使えないという制限があるので拡散計算も、これに合せて、基準計算では VI-1、VI-2 それぞれ TA 領域のスペクトルを全領域に使用し、この取扱いの実効増倍率に対する補正量は別に、正しく領域毎の核分裂スペクトルを使用した二次元拡散計算を行って求めた。

(4) 二次元摂動計算 (HANYO コード)

非均質体系を無摂動体系として一次摂動近似により非均質効果、パンチング効果を算出した。

(5) 二次元輸送計算 (TWOTRAN II)

VI-1 廉心では拡散計算と同じく、 28×26 メッシュで 12 群 S4 の計算を行なった。輸送計算においてはメッシュ効果が小さいと判ったので、VI-2 廉心では、coarse mesh による計算のみを行なった。

<注> ドライバー領域での非均質計算は MURAL での計算にトラブルがあったので、均質で取扱った。

II FCAVI-1炉心の解析

(1) 実効増倍率

テスト領域のMURAL非均質モデル計算には第4図の10領域プレートモデルを使用した。一次元拡散計算、二次元拡散計算による均質モデル、非均質モデルの実効増倍率を第3表にまとめて示した。均質系基準RZ計算の k_{eff} として 0.9812 を得た。

次に補正量について説明する。

(i) 群縮約の効果 ; 一次元 37 群計算と 12 群縮約計算との差により、 $-0.0014 \Delta k$ を得た。

(ii) メッシュ効果 ; k_{eff} に対するメッシュ効果は、メッシュ面積に比例するので、先に述べた fine mesh 計算の k_{eff} と coarse mesh の計算の k_{eff} とから無限メッシュへ外挿した時の k_{eff} を $k_{eff}(\infty \text{メッシュ}) = k_{eff}(\text{fine}) + \frac{1}{3}[k_{eff}(\text{fine}) - k_{eff}(\text{coarse})]$

によって求めた。結果は、 $-0.0011 \Delta k$ であった。

(iii) 核分裂スペクトル ; 各領域の核分裂スペクトルとして MURAL で求めたものを使用して、二次元 RZ 拡散（非均質モデル）計算を行なって、この効果を調べた。この結果、テスト領域の α を全領域に用いた基準計算の k_{eff} と比較して、 k_{eff} は $0.0015 \Delta k$ 小さくなる。第4表に 12 群での核分裂スペクトルを示した。

(iv) 非均質効果 ; 基準二次元 RZ 計算による均質系と非均質との k_{eff} の差から非均質効果として $0.0060 \Delta k$ を得た。後に述べるように摂動計算による値は $0.0061 \Delta k$ であった。

(v) 輸送補正 ; 非均質体系を用いて S_4 計算を行なった。coarse mesh の輸送計算結果は $k_{eff} = 0.99340$ 、fine mesh の輸送計算結果は $k_{eff} = 0.99331$ であり、輸送計算の場合、拡散に較べてメッシュ効果は小さいようである。拡散の k_{eff} との輸送の k_{eff} をそれぞれ無限メッシュへ外挿した後、その差から輸送効果として $\Delta k = 0.0072$ を得た。

以上をまとめて第5表に示す。補正後の k_{eff} として 0.9904 を得た。これは、実験値 0.9905 ± 0.0007 と良く一致している。 $(C/E = 0.9999 \pm 0.0007)$ なお、ドライバーの非均質効果はここには含まれていないが、日立の解析結果 ^{<8>} によると、この効果は $0.0007 \Delta k$ である。

(2) バンチング反応度

T-Aセルのプレート配列を変えて、バンチング反応度の測定が行なわれている。ここでは、T-Aセルから T-Bセルへのバンチング実験を解析した。

MURAL計算に用いたT-Bセルの領域モデルを第5図に示した。基準計算結果は第3表に掲げてあるが、T-A非均質計算とT-B非均質計算 k_{eff} はそれぞれ 0.98721、0.99721で、従って、バンチング効果として $\Delta k/k = 1.01\%$ を得た。第6表に示されるように、これは、実験値 $1.023 \pm 0.020\% \Delta k/k$ と良く一致している。

(3) 摂動計算による検討

まず、MURAL非均質計算で得られた各プレート内の平均中性子束の比を、T-Aセル、T-Bセルについて、それぞれ第7表、第8表に示す。T-Bセルでの隣接3枚のPuプレート内で、高エネルギー中性子束の盛り上がりが顕著である。次に、セル平均断面積について均質T-Aと非均質T-Aとの比較を第9表に、また、非均質T-Aと非均質T-Bとの比較を第10表に示した。

T-Aセルの非均質効果の内訳を、二次元摂動計算により求めたものを第11表に示す。非均質効果 $0.61\% \Delta k$ のうち、当然ながら核分裂項が最も大きく、 $+0.50\% \Delta k/k$ 、吸収項は高低エネルギーで打消し合うが self shielding の寄与が残って $+0.10\% \Delta k/k$ の寄与がある。

T-AセルからT-Bセルへのバンチング効果の内訳を第12表に示す。バンチング効果 $1.04\% \Delta k/k$ のうち核分裂寄与は $1.29\% \Delta k/k$ 、吸収寄与は $-0.26\% \Delta k/k$ である。

(4) 輸送計算による検討

非均質効果、バンチング効果が拡散計算と輸送計算とで差があるかどうかを見るために、coarse mesh の輸送計算により、これを調べた。

輸送計算による均質、非均質及びバンチング、非均質での k_{eff} 値を第13表に示した。非均質効果について輸送計算値 $0.614\% \Delta k$ 、拡散計算値 $0.610\% \Delta k$ を得た。また、バンチング効果については、輸送計算値は $1.02\% \Delta k/k$ 、拡散計算値は $1.01\% \Delta k/k$ で、両者の差は小さいと結論できる。

また、均質体系での輸送補正は $0.712\% \Delta k$ 、非均質体系での輸送補正は $0.715\% \Delta k$ 、バンチング体系での輸送補正は $0.742\% \Delta k$ である。わずかに変化がみられるが、輸送補正の体系依存性（均質または非均質）は小さいと云える。

III FCA VI-2 廉心の解析

(1) 実効増倍率及びパンチング反応度

計算方法は FCA VI-1 で用いた方法と全く同じであるので、計算結果とそのまとめについて述べる。

VI-2 廉心では、パンチング効果は T-A セルから T-G セルへのパンチング実験を解析している。MURAL 非均質計算に用いた T-A セル 5 領域、T-G セル 5 領域モデルを第 6 図、第 7 図に示した。いずれも、セル内が対称になっているので、reflective 条件で計算した。

一次元拡散計算、二次元拡散計算結果は第 3 表に示されている。輸送計算結果は第 13 表に示されている。

実効増倍率について、基準計算値及び種々の補正計算値を第 5 表にまとめて示した。

補正後の k_{eff} 値は 1.0025 で、一方実験値は、 1.000 ± 0.0003 である。

パンチング反応度については、第 6 表に示されるように拡散計算値 $0.388\% \Delta k/k$ 、実験値 $0.292 \pm 0.010\% \Delta k/k$ であり、C-E としては、 $0.1\% \Delta k/k$ の差である。
~~0.314~~

T-A セル、T-G セルについて、各プレート内の平均中性子束の比を第 14 表に示した。VI-1 廉心、T-B セルでは P_u プレート 3 枚が隣接したのに対し、VI-2 廉心、T-G セルでは、2 枚の P_u プレートが DUO_2 プレートをはさんでいる。このため P_u プレート内の高エネルギー側の盛り上りは、T-B セルに較べ小さい。均質及び非均質 T-A セルの平均断面積の比較を第 15 表に示し、 k_{eff} に対する T-A セル、非均質効果の内訳を第 16 表に示した。また、非均質 T-A セルと、非均質 T-G セルの断面積の比較を第 17 表に示し、このパンチング効果の内訳を第 18 表に示した。

第 8 図から第 11 図までに、VI-1 廉心での廉心中心面半径方向の中性子束分布を Adjoint 中性子束分布を示した。VI-2 廉心は VI-1 廉心に較べ、テスト領域が less reactive で、(第 9 表、第 15 表、第 4 図、第 6 図参照。セル内の P_u プレート枚数はそれぞれ VI-2 では 2 枚、VI-1 では 3 枚) ドライバー領域は more reactive である。また、ドライバーの領域厚さに関しても VI-2 は約 17 cm、VI-1 は約 11 cm という違いがある。これらの影響は中性子分布、Adjoint 分布によく現われている。

IV MURAL セル計算モデルの検討

MURALによる非均質セル断面積を計算する際の計算モデルの取り方について、以下の項目について検討した。計算対象にはVI-2炉心、T-Aセルを用いた。モデルを変えて計算した12群マクロ断面積の比較は第19表に、また、基準モデルから見たときの k_{eff} 変化の内訳は、二次元摂動で求めて第20表に示した。

(1) 領域分けの検討

基準計算ではPuプレートのキャンを隣のDUO₂プレート、あるいはNaプレートと混合均質化して扱った。また、Al₂O₃とNaプレートとをそのキャンも含めて混合物質化し、一領域として扱ったがこの取扱いの効果を見るため、第12図に示すように詳細に領域分けを行って11領域モデルでMURAL計算を行った。非均質効果0.48%Δkに対する影響は-0.007%Δkであり、これから基準モデルの取扱いで、充分であることがわかる。

(2) セル計算時のバッククリングの取扱い

基準計算ではバッククリングサーチを行ったが、ここでは二次元非均質基準計算より、テスト領域平均の12群のB²を求めて、これをMURAL計算に用いた。

非均質効果0.48%Δkに対する影響は-0.02%Δkである。

(3) 格子管と引出しの取扱い

基準計算では格子管の2/4と引出しの1/3は、各プレートに一様に溶かし込んだ。この取扱いの効果を見るために格子管と引出しを各プレートに溶かし込むのをやめて、セルの両端の格子管と引出し部分に押し込んで計算を行ってみた。非均質効果に対する影響は+0.04%Δkであった。但し、この取扱いよりも基準計算での取扱いの方が適当であると考えられる。

(4) Puプレートの取扱い

第13図に示されるように、各プレートそれぞれを1領域として取扱ってみる。即ち、Puプレートの取扱いを、基準モデルより簡単化してミートとキャンとを混合して、1領域として取扱う。また、Al₂O₃を独立した1領域として取扱う。主な影響はPuプレートの取扱いかから来るもので、第19表に見る高エネルギー側の Σ_f 、 Σ_a の断面積がわずかに減少している。非均質効果に対する影響は-0.02%Δkである。

(5) B₁近似

基準計算では一貫してP₁近似を用いた。これをB₁近似に変えてcurrentに対する輸送理論補正の影響を見る。第19表に示されるように Σ_{tr} が高エネルギー側で3%増加している。非均質効果に対する影響は0.03%Δkである。

あとがき

解析結果をまとめると、FCA VI-1炉心の実効増倍率のC/Eは 0.9999 ± 0.0007 であり、T-AセルからT-Bセルへのバンチング反応度の計算値は $1.012\%/\Delta k/k$ で、実験値 $1.023 \pm 0.020\%/\Delta k/k$ と良い一致を示している。

FCA VI-2炉心の実効増倍率のC/Eは 1.0025 ± 0.0003 を得た。T-AセルからT-Gセルへのバンチング反応度の計算値は $0.388\%/\Delta k/k$ で、実験値 ~~0.292 ± 0.010~~
 0.314 をやや過大評価している。

二つのバンチング実験解析に基づいて、FCA炉心の非均質効果の計算精度は $\pm 0.1\%/\Delta k$ と考えられる。

今回の計算でドライバー領域を均質で取扱ったが、これを考慮すると、実効増倍率は $+0.1\%/\Delta k$ 程度の増加があるであろう。

MURALの計算に用いた領域分けの基準モデルは、より詳細な領域分けと比較しても差が生じないので、妥当なモデルと考えられる。

今後、さらにモーツアルト国内解析で用いられている26群ベースの非均質解析手法との比較を行って、その手法の精度の確認が行なわれるであろう。

第1表 MURAL基準計算使用オプション

Buckling	炉心 ; $k_{eff} = 1.000$ として buckling search ブランケット ; $B^2 = 0.0$
Boundary condition	Repeated (FCAVI-1セル) Reflective (FCAVI-2セル)
Diffusion constant for leakage	セル平均のDiffusion const.
Approximation	P1 approx.
Fine Spectrum calculation	3群から24群まで

第2表 MURAL 37群と縮約12群の分割点

37 Group	Lower energy	12 Group
1	10.0 Mev	
2	6.0653	1 (1~3)
3	3.6788	
4	2.23	
5	1.35	2 (4~5)
6	0.82	
7	0.498	3 (6~8)
8	0.320	
9	0.183	
10	0.111 Mev	4 (9~10)
11	67.38 Kev	
12	40.87	5 (11~12)
13	24.79	
14	15.03	6 (13~15)
15	9.11	
16	5.53	
17	3.35	7 (16~17)
18	2.03	8 (18)
19	1.23	
20	748.5 ev	9 (19~20)
21	454.0	
22	275.0	10 (21~23)
23	167.0	
24	101.0	
25	61.4	
26	37.2	11 (24~27)
27	22.6	
28	13.7	
29	8.31	
30	5.04	
31	3.05	
32	1.85	
33	1.12	
34	0.68	
35	0.414	12 (28~37)
36	0.1	
37	thermal	

第3表 拡散計算結果

FCA VI-1

	Homo	Hetero	Bunching
1次元拡散 37G keff	0.99210	0.99826	1.00855
12G keff	0.99352	0.99965	1.00989
2次元拡散 coarse keff	0.98445	0.99049	1.00054
fine keff	0.98122	0.98721	0.99720
2次元拡散 keff (領域毎のX) fine mesh	—	0.98587	—
2次元摂動 非均質効果Δk	0.00599		—
2次元摂動 バンチング効果Δk/k	—	0.01037	

FCA VI-2

	Homo	Hetero	Bunching
1次元拡散 37G keff	1.01001	1.01517	1.01929
12G keff	1.01151	1.01665	1.02073
2次元拡散 coarse keff	1.00021	1.00516	1.00906
fine keff	0.99763	1.00260	1.00649
2次元拡散 keff (領域毎のX) fine mesh	—	1.00053	—
2次元摂動 非均質効果Δk	0.00497		—
2次元摂動 バンチング効果Δk/k	—	0.00381	

第4表 核分裂スペクトル(12群)

群	FCA VI-1				FCA VI-2	
	T-A	D-A	RBL	AxBL	T-A	D-A
1	0.143111	0.131375	0.131375	0.131375	0.142891	0.131375
2	0.444155	0.441496	0.441496	0.441496	0.444105	0.441498
3	0.348505	0.359795	0.359795	0.359795	0.348716	0.359796
4	0.048805	0.051124	0.051124	0.051124	0.048848	0.051124
5	0.011881	0.012481	0.012481	0.012481	0.011892	0.012481
6	0.003166	0.003332	0.003332	0.003332	0.003169	0.003332
7	0.000292	0.000308	0.000308	0.000308	0.000293	0.000308
8	0.000044	0.000047	0.000047	0.000047	0.000044	0.000047
9	0.000031	0.000032	0.000032	0.000032	0.000031	0.000032
10	0.000008	0.000008	0.000008	0.000008	0.000008	0.000008
11	0.0	0.000001	0.000001	0.000001	0.0	0.000001
12	0.0	0.0	0.0	0.0	0.0	0.0

第5表 実効増倍率 計算値と実験値との比較

FCA VI-1、VI-2、炉心

計 算 内 容	FCA-VI-1	FCA VI-2
(a) keff(12群、2D-RZ均質モデル基準計算)	0.9812	0.9977
(b) 非均質効果(Test Region非均質 Driverは均質)	+0.0060	+0.0048
(c) 群縮約効果(12群 → 37群)	-0.0014	-0.0015
(d) メッシュ効果(無限メッシュへ外挿)	-0.0011	-0.0008
(e) 核分裂スペクトル(領域毎のスペクトル)	-0.0015	-0.0024
(f) 輸送補正(S_4 、無限メッシュ外挿)	+0.0072	+0.0047
補 正 後 の keff	0.9904	1.0025
実 験 値 の keff	0.9905 ± 0.0007	1.0000 ± 0.0003
C / E	0.9999 ± 0.0007	1.0025 ± 0.0003

第6表 パンチング反応度 計算値と実験値との比較

	FCA VI-1 (T-A) → (T-B)	FCA VI-2 (T-A) → (T-G)
△k/k (拡散) %	1.012	0.388
△k/k (輸送) %	1.018	—
△k/k (拡散摂動) %	1.037	0.381
△k/k 実験値 %	1.023 ± 0.020	0.292 ± 0.010 0.314
C-E(C;拡散) % △k/k	-0.011 ± 0.020	+0.096 ± 0.010 0.067

第7表 セル平均中性子束に対するプレート内平均中性子束の比

(FCA VI-1 T-A セル)

PLATE	Flux ratios by energy group				
	1	7	12	18	23/37
Na + SS	0.999	1.001	0.996	1.018	1.001
Pu	1.130	1.011	0.994	0.973	0.933
DUO ₂ + SS	0.978	0.998	1.003	0.986	1.016
Na+SS+Al ₂ O ₃	0.920	0.990	1.005	1.017	1.057
DUO ₂ + SS	0.983	0.999	1.004	0.982	1.012
Pu	1.139	1.010	0.996	0.968	0.924
Na + SS	1.033	1.002	0.999	1.005	0.975
DUO ₂ + SS	1.020	1.004	1.001	0.977	0.975
Pu	1.152	1.013	0.992	0.966	0.914
Na + SS	1.008	1.002	0.996	1.015	0.993

第8表 セル平均中性子束に対するプレート内平均中性子束の比

(FCA VI-1 T-B セル)

Plate	Flux ratios by energy group				
	1	7	12	18	23/37
Na + SS	0.868	0.987	1.004	1.042	1.074
DUO ₂	0.888	0.989	1.007	1.011	1.057
Na + Al ₂ O ₃	0.935	0.992	1.004	1.013	1.035
DUO ₂ + SS	1.092	1.011	0.999	0.948	0.947
Pu	1.383	1.036	0.985	0.912	0.822
SS	1.421	1.039	0.983	0.911	0.813
Pu	1.444	1.040	0.981	0.909	0.799
SS	1.420	1.038	0.982	0.915	0.812
Pu	1.380	1.034	0.983	0.922	0.822
Na + SS	1.156	1.015	0.992	0.986	0.915
DUO ₂	0.985	1.001	1.001	0.994	0.992
Na + SS	0.895	0.990	1.002	1.034	1.055

第9表 均質および非均質マクロ断面積

FCA VI-1 (テスト領域T-A、12群)

群	Σa			$\nu \Sigma f$			$\Sigma t r$		
	均質	非均質	比	均質	非均質	比	均質	非均質	比
1	9.620-3	9.983-3	1.038	2.517-2	2.653-2	1.054	1.031-1	1.035-1	1.004
2	7.503-3	7.710-3	1.028	2.034-2	2.103-2	1.034	1.183-1	1.183-1	1.000
3	3.921-3	3.970-3	1.013	8.138-3	8.284-3	1.018	1.752-1	1.749-1	0.998
4	3.882-3	3.876-3	0.999	6.885-3	6.869-3	0.998	2.135-1	2.133-1	0.999
5	5.059-3	5.039-3	0.996	7.510-3	7.461-3	0.993	2.587-1	2.585-1	0.999
6	7.429-3	7.363-3	0.991	7.897-3	7.809-3	0.989	3.037-1	3.029-1	0.997
7	1.207-2	1.177-2	0.975	1.045-2	1.023-2	0.979	4.737-1	4.715-1	0.995
8	1.742-2	1.601-2	0.919	1.401-2	1.336-2	0.954	6.434-1	6.376-1	0.991
9	2.126-2	1.986-2	0.934	1.926-2	1.819-2	0.944	3.620-1	3.592-1	0.992
10	3.335-2	3.007-2	0.902	4.147-2	3.785-2	0.913	3.695-1	3.660-1	0.991
11	6.013-2	5.206-2	0.866	7.680-2	6.759-2	0.880	3.998-1	3.928-1	0.982
12	2.046-1	1.528-1	0.747	2.067-1	1.493-1	0.722	4.524-1	4.175-1	0.923

第10表 非均質モデルでのT-A、T-Bセルのマクロ断面積

ECA VI-1 (12群)

群	Σa			$\nu \Sigma f$			$\Sigma t r$		
	T - A	T - B	T-B/T-A	T - A	T - B	T-B/T-A	T - A	T - B	T-B/T-A
1	9.983-3	1.067-2	1.069	2.653-2	2.906-2	1.095	1.031-1	1.046-1	1.015
2	7.710-3	8.178-3	1.061	2.103-2	2.252-2	1.072	1.183-1	1.192-1	1.008
3	3.970-3	4.076-3	1.027	8.284-3	8.587-3	1.037	1.752-1	1.753-1	1.001
4	3.876-3	3.869-3	0.998	6.869-3	6.850-3	0.997	2.135-1	2.133-1	0.999
5	5.039-3	5.007-3	0.994	7.461-3	7.385-3	0.990	2.587-1	2.583-1	0.998
6	7.363-3	7.294-3	0.991	7.809-3	7.673-3	0.983	3.037-1	3.027-1	0.997
7	1.177-2	1.153-2	0.980	1.023-2	9.881-3	0.966	4.737-1	4.710-1	0.994
8	1.601-2	1.520-2	0.949	1.336-2	1.227-2	0.918	6.434-1	6.363-1	0.989
9	1.986-2	1.871-2	0.942	1.819-2	1.656-2	0.910	3.620-1	3.568-1	0.986
10	3.007-2	2.686-2	0.893	3.785-2	3.292-2	0.870	3.695-1	3.622-1	0.980
11	5.206-2	4.516-2	0.867	6.759-2	5.667-2	0.838	3.998-1	3.866-1	0.967
12	1.528-1	1.266-1	0.829	1.493-1	1.071-1	0.717	4.524-1	4.017-1	0.888

第 11 表 k_{eff} に対する T-A セルの非均質効果(FCA VI-1)

(2D-RZ 摂動計算)

 $(\Delta k/k)$ 1
8

群	生 成	吸 収	漏 れ	減 速	正 味
1	1.721-3	-5.039-4	1.397-5	-3.116-5	1.200-3
2	4.476-3	-1.408-3	9.306-6	5.637-5	3.134-3
3	2.901-3	-8.504-4	-3.783-5	1.263-5	2.025-3
4	-2.803-4	8.244-5	-1.292-5	9.640-7	-2.098-4
5	-6.141-4	2.133-4	-7.015-6	1.272-6	-4.065-4
6	-8.146-4	5.003-4	-1.555-5	1.507-6	-3.283-4
7	-4.086-4	4.948-4	-4.291-6	9.895-6	9.180-5
8	-1.767-4	3.533-4	-1.052-6	1.951-6	1.775-4
9	-9.974-4	1.237-3	-5.444-6	7.756-5	3.117-4
10	-7.947-4	8.570-4	-2.397-6	4.138-6	6.404-5
11	-5.258-5	5.730-5	-1.573-7	-3.930-8	4.523-6
12	-1.476-7	1.277-7	-3.157-10	0.0	-2.022-8
計	-4.959-3	1.033-3	-6.338-5	1.351-4	6.064-3

第 12 表 k_{eff}/k 対する $T_B - T_A$ のパンチング効果 (FCA VI-1)

(2D-RZ 摂動計算)

 $(\Delta k/k)$

群	生 成	吸 収	漏 れ	減 速	正 味
1	3.245-3	-9.743-4	3.584-5	-6.439-5	2.273-3
2	9.896-3	-3.256-3	1.021-4	-1.415-4	6.601-3
3	6.100-3	-1.903-3	4.809-5	-1.253-5	4.233-3
4	-3.385-4	1.188-4	-6.535-7	1.896-6	-2.185-4
5	-9.922-4	3.557-4	-4.470-6	2.729-6	-6.382-4
6	-1.297-3	5.288-4	-3.442-6	7.468-6	-7.642-4
7	-6.709-4	3.813-4	-9.205-7	1.206-5	-2.785-4
8	-3.021-4	2.075-4	-2.375-7	3.436-6	-9.140-5
9	-1.552-3	1.034-3	-5.017-6	7.372-5	-4.493-4
10	-1.110-3	8.487-4	-2.714-6	5.459-6	-2.586-4
11	-6.400-5	5.032-5	-1.403-7	-5.950-8	-1.388-5
12	-1.114-7	6.632-8	-1.420-10	0.0	-4.522-8
計	1.291-2	-2.597-3	1.684-4	-1.117-4	1.037-2

第13表 輸送計算による実効増倍率

(2D-RZ S₄ 計算)

		mesh	S ₄	拡 散	△ k
FCA VI-1	非均質	14 * 13	0.993395	0.99049	0.00290
		28 * 26	0.993308	0.98721	0.00609
		∞	(0.99327)	(0.98612)	(0.00715)
	均 質	14 * 13	0.987255	0.98445	0.00280
		28 * 26	—	0.98121	0.00605
		∞	—	(0.98013)	(0.00712)
	T - B	14 * 13	1.00351	1.0005	0.00297
		28 * 26	—	0.99721	0.00630
		∞	—	(0.99609)	(0.00742)
FCA VI-2	非均質	15 * 13	1.00644	1.00516	0.00128
		30 * 26	—	1.00260	0.00384
		∞	—	(1.00175)	(0.00469)

	輸 送	拡散(∞メッシュ)
非均質効果 △k	0.00614	0.00610
パンチング効果 △k / k	0.01018	0.01012

第14表 セル平均中性子束に対するプレート内平均中性子束の比

T-Aセル

(FCA VI-2)

Plate	Flux ratios by energy group				
	1	7	12	18	23
Na+SS	0.918	0.995	1.001	1.017	1.037
DUO ₂ +SS	1.016	1.003	1.001	0.977	0.990
Pu	1.229	1.018	0.993	0.965	0.916
Na+SS+Al ₂ O ₃	1.049	1.001	0.998	1.007	0.982
DUO ₂ +SS	0.980	0.998	1.002	0.994	0.997

T-Gセル

Plate	Flux ratios dy energy group				
	1	7	12	18	23
Na+SS	0.986	0.989	1.000	1.036	1.054
Na+Al ₂ O ₃	0.932	0.991	1.000	1.022	1.034
DUO ₂ +SS	1.068	1.009	1.001	0.965	0.962
Pu	1.319	1.031	0.994	0.935	0.867
DUO ₂ +SS	1.185	1.022	0.999	0.946	0.902

第15表 均質および非均質マクロ断面積

(FCA VI-2
(テスト領域-A、12群))

群	Σa			$\nu \Sigma f$			Σtr		
	均 質	非 均 質	比	均 質	非 均 質	比	均 質	非 均 質	比
1	8.670-3	9.113-3	1.051	2.141-2	2.303-2	1.076	1.025-1	1.031-1	1.006
2	6.326-3	6.569-3	1.038	1.663-2	1.742-2	1.048	1.177-1	1.179-1	1.002
3	2.956-3	3.004-3	1.016	5.454-3	5.595-3	1.026	1.787-1	1.786-1	0.999
4	2.984-3	2.981-3	0.999	4.609-3	4.602-3	0.998	2.160-1	2.158-1	0.999
5	4.037-3	4.021-3	0.996	5.035-3	5.004-3	0.994	2.591-1	2.587-1	0.998
6	6.142-3	6.088-3	0.991	5.308-3	5.252-3	0.989	3.024-1	3.013-1	0.996
7	9.858-3	9.600-3	0.974	7.044-3	6.888-3	0.978	4.648-1	4.625-1	0.995
8	1.410-2	1.284-2	0.911	9.454-3	8.956-3	0.947	6.337-1	6.278-1	0.991
9	1.707-2	1.586-2	0.929	1.333-2	1.242-2	0.932	3.527-1	3.498-1	0.992
10	2.658-2	2.360-2	0.888	3.016-2	2.686-2	0.891	3.598-1	3.562-1	0.990
11	4.948-2	4.153-2	0.839	5.845-2	4.923-2	0.842	3.874-1	3.799-1	0.981
12	1.670-1	1.186-1	0.710	1.537-1	9.607-2	0.625	4.279-1	3.956-1	0.925

第16表 K_{eff} に対するT-Aセルの非均質効果 (FCA VI-2)
(2D-RZ摂動計算)

($\Delta K/K$)

群	生 成	吸 収	漏 れ	減 速	正 味
1	1.332-3	-4.107-4	4.921-6	-1.451-5	9.121-4
2	3.528-3	-1.152-3	8.741-6	1.158-5	2.397-3
3	2.001-3	-6.184-4	-4.439-7	2.895-6	1.385-3
4	-1.008-4	3.857-5	-7.824-6	4.956-6	-6.514-5
5	-3.321-4	1.391-4	-6.040-6	5.479-6	-1.935-4
6	-4.885-4	3.752-4	-1.119-5	-1.587-6	-1.262-4
7	-3.043-4	4.293-4	-1.880-6	8.683-6	1.318-4
8	-1.506-4	3.451-4	-3.847-7	1.676-6	1.959-4
9	-1.012-3	1.245-3	-2.129-6	7.405-5	3.054-4
10	-1.180-3	1.203-3	-1.388-6	5.560-6	2.725-5
11	-1.751-4	1.752-4	-2.689-7	-4.019-7	-5.999-7
12	-1.351-6	9.114-7	-9.913-10	0.0	-4.407-7
計	3.117-3	1.771-3	-1.789-5	9.838-5	4.968-3

第17表 非均質モデルでのT-A、T-Gセルのマクロ断面積

$$(\frac{FCA}{12群} \cdot Vl^2)$$

群	Σa			$\nu \Sigma f$			$\Sigma t r$		
	T-A	T-G	T-G/T-A	T-A	T-G	T-G/T-A	T-A	T-G	T-G/T-A
1	9.113-3	9.716-3	1.066	2.303-2	2.494-2	1.083	1.031-1	1.053-1	1.021
2	6.569-3	6.820-3	1.038	1.742-2	1.810-2	1.039	1.179-1	1.192-1	1.011
3	3.004-3	3.041-3	1.012	5.595-3	5.668-3	1.013	1.786-1	1.793-1	1.004
4	2.981-3	2.981-3	1.000	4.602-3	4.605-3	1.001	2.158-1	2.156-1	0.999
5	4.021-3	4.016-3	0.999	5.004-3	5.005-3	1.000	2.587-1	2.583-1	0.998
6	6.088-3	6.033-3	0.991	5.252-3	5.212-3	0.992	3.013-1	3.001-1	0.996
7	9.600-3	9.486-3	0.988	6.888-3	6.899-3	1.002	4.625-1	4.609-1	0.997
8	1.284-2	1.202-2	0.936	8.956-3	8.816-3	0.984	6.278-1	6.220-1	0.991
9	1.586-2	1.500-2	0.946	1.242-2	1.185-2	0.954	3.498-1	3.465-1	0.991
10	2.360-2	2.230-2	0.945	2.686-2	2.568-2	0.956	3.562-1	3.529-1	0.991
11	4.153-2	3.842-2	0.925	4.923-2	4.628-2	0.939	3.799-1	3.742-1	0.985
12	1.186-1	9.964-2	0.840	9.607-2	7.824-2	0.814	3.956-1	3.818-1	0.965

第18表 K_{eff}/K に対するTG-TAのパンチング効果
(2D-RZ摂動計算)

群	生 成	吸 収	漏 れ	減 速	正 味
1	1.578-3	-5.588-4	1.697-5	-1.906-4	8.453-4
2	3.038-3	-1.188-3	4.805-5	-4.204-4	1.478-3
3	1.033-3	-4.773-4	2.812-5	-2.263-5	5.616-4
4	3.871-5	-6.069-6	-4.324-6	3.014-6	3.133-5
5	7.343-6	4.779-5	-6.346-6	8.596-6	5.738-5
6	-3.419-4	3.840-4	-1.157-5	6.704-7	3.116-5
7	2.205-5	1.887-4	-1.349-6	-2.054-6	2.073-4
8	-4.230-5	2.256-4	-3.830-7	-1.754-6	1.812-4
9	-6.293-4	8.940-4	-2.457-6	3.487-5	2.972-4
10	-4.211-4	5.240-4	-1.271-6	2.243-6	1.039-4
11	-5.593-5	6.855-5	-2.039-7	-1.515-7	1.227-5
12	-4.179-7	3.584-7	-4.240-10	0.0	-5.990-8
計	4.226-3	-1.033-4	6.324-5	-5.882-4	3.806-3

第19表 MURAL計算モデルの検討
(12群マクロ断面積の比較)

群	Σa					$\nu \Sigma f$				
	(1)	(2)	(3)	(4)	(5)	(1)	(2)	(3)	(4)	(5)
1	9.093-3	9.110-3	9.107-3	9.072-3	9.112-3	2.298-2	2.302-2	2.307-2	2.287-2	2.303-2
2	6.561-3	6.567-3	6.571-3	6.545-3	6.569-3	1.740-2	1.741-2	1.743-2	1.735-2	1.742-2
3	3.005-3	3.001-3	3.002-3	3.002-3	3.004-3	5.600-3	5.587-3	5.590-3	5.589-3	5.595-3
4	2.980-3	2.980-3	2.980-3	2.981-3	2.981-3	4.601-3	4.600-3	4.602-3	4.602-3	4.602-3
5	4.021-3	4.022-3	4.020-3	4.022-3	4.021-3	5.003-3	5.003-3	5.004-3	5.007-3	5.004-3
6	6.085-3	6.088-3	6.082-3	6.090-3	6.088-3	5.245-3	5.251-3	5.251-3	5.257-3	5.252-3
7	9.593-3	9.600-3	9.553-3	9.615-3	9.600-3	6.875-3	6.888-3	6.878-3	6.916-3	6.888-3
8	1.283-2	1.284-2	1.280-2	1.285-2	1.284-2	8.952-3	8.956-3	8.949-3	8.985-3	8.956-3
9	1.582-2	1.586-2	1.576-2	1.590-2	1.586-2	1.240-2	1.242-2	1.242-2	1.249-2	1.242-2
10	2.355-2	2.361-2	2.341-2	2.375-2	2.360-2	2.680-2	2.687-2	2.680-2	2.712-2	2.686-2
11	4.144-2	4.153-2	4.112-2	4.198-2	4.153-2	4.911-2	4.923-2	4.917-2	4.995-2	4.923-2
12	1.177-1	1.186-1	1.153-1	1.201-1	1.186-1	9.561-2	9.606-2	9.499-2	9.931-2	9.607-2

(1)~(5)次頁参照

第19表(続き)

群	Σt_r				
	(1)	(2)	(3)	(4)	(5)
1	1.031-1	1.031-1	1.024-1	1.032-1	1.064-1
2	1.179-1	1.179-1	1.175-1	1.180-1	1.209-1
3	1.785-1	1.786-1	1.785-1	1.786-1	1.808-1
4	2.157-1	2.157-1	2.156-1	2.158-1	2.176-1
5	2.586-1	2.586-1	2.585-1	2.587-1	2.602-1
6	3.010-1	3.013-1	3.007-1	3.013-1	3.026-1
7	4.623-1	4.625-1	4.620-1	4.624-1	4.631-1
8	6.263-1	6.280-1	6.285-1	6.278-1	6.282-1
9	3.494-1	3.498-1	3.501-1	3.498-1	3.507-1
10	3.561-1	3.562-1	3.570-1	3.562-1	3.571-1
11	3.797-1	3.799-1	3.817-1	3.801-1	3.807-1
12	3.945-1	3.956-1	4.002-1	3.958-1	3.964-1

基準計算値は第17表参照

(1) 詳細領域モデル
(11領域モデル)
(2) バックリングの取扱い
(3) 格子管と引出しの取扱い
(4) Puプレートの取扱い
(5) B₁近似

第20表 MURAL計算モデルの検討(実効増倍率に対する効果)

(△k/k)

反応	(1)	(2)	(3)	(4)	(5)
生成(P)	-2.191-4	-1.999-4	-4.298-5	-2.394-4	-1.037-
吸収(A)	1.519-4	5.669-5	3.630-4	1.975-5	3.472-6
もれ(L)	-1.866-5	-5.222-6	-4.122-5	2.053-6	3.226-4
減速(M)	1.095-5	-1.090-4	1.559-4	-2.645-5	2.525-6
正味(N)	-7.491-5	-2.574-4	4.347-4	-2.440-4	3.182-4

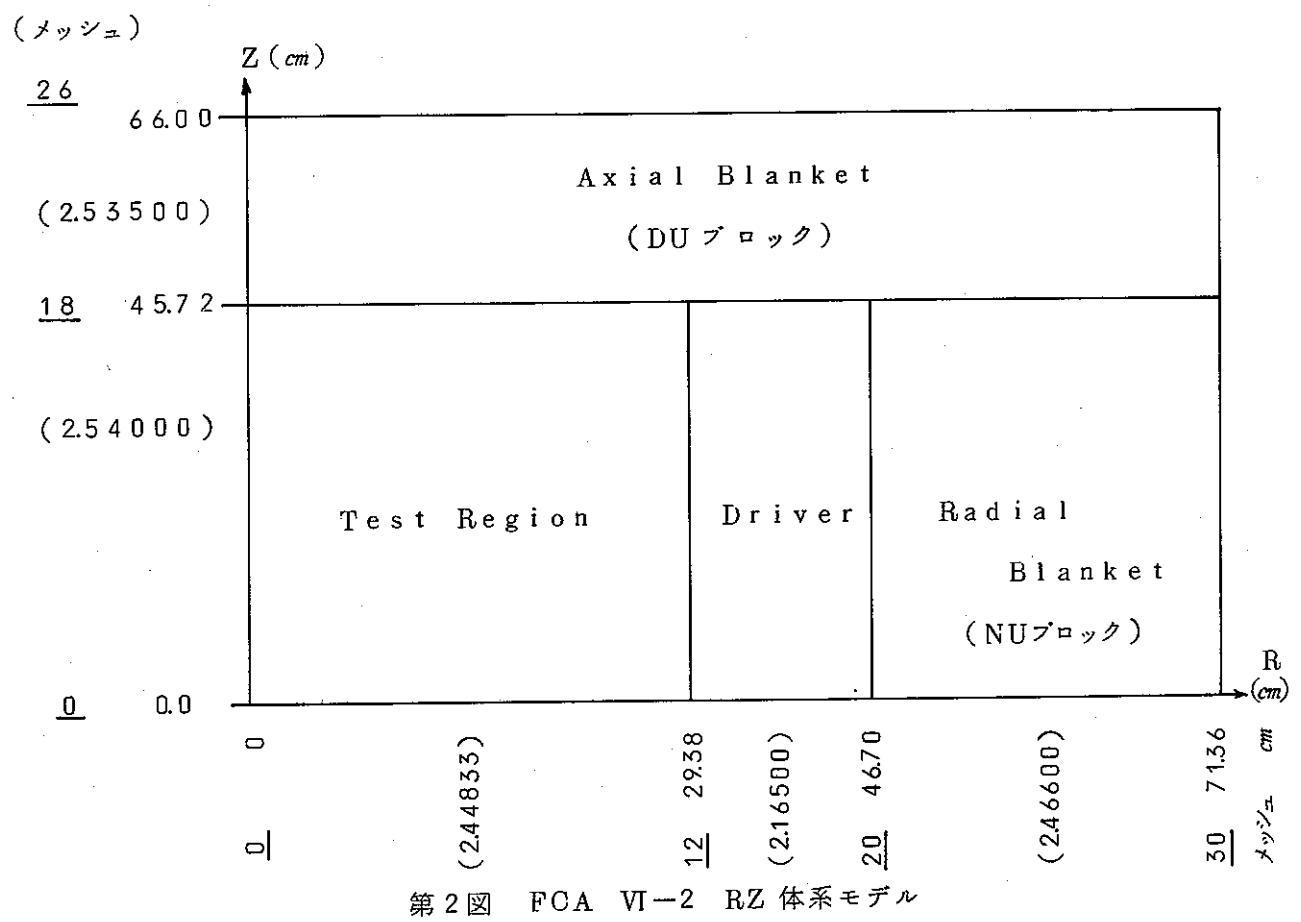
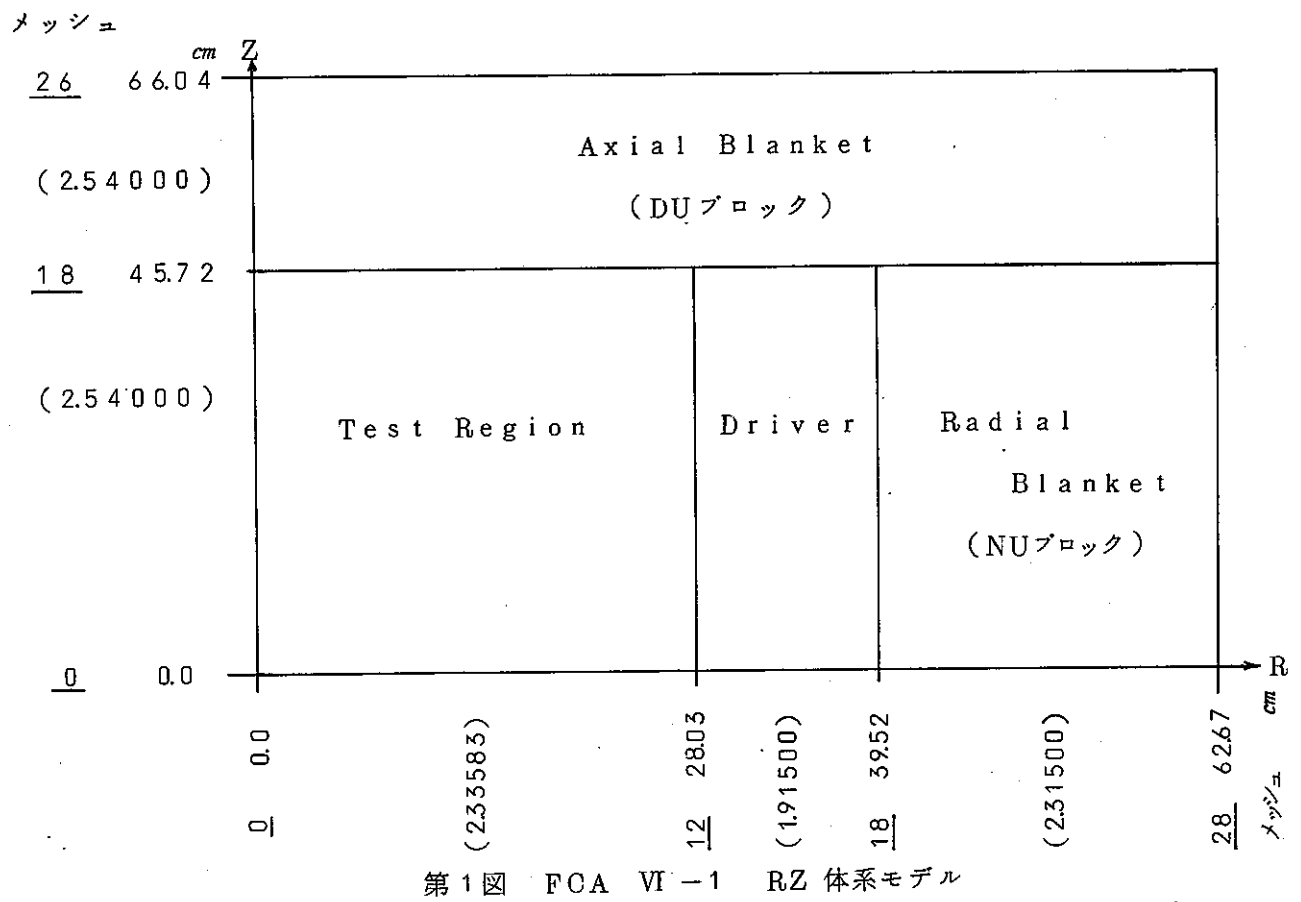
(1) 詳細領域モデル(11領域モデル)

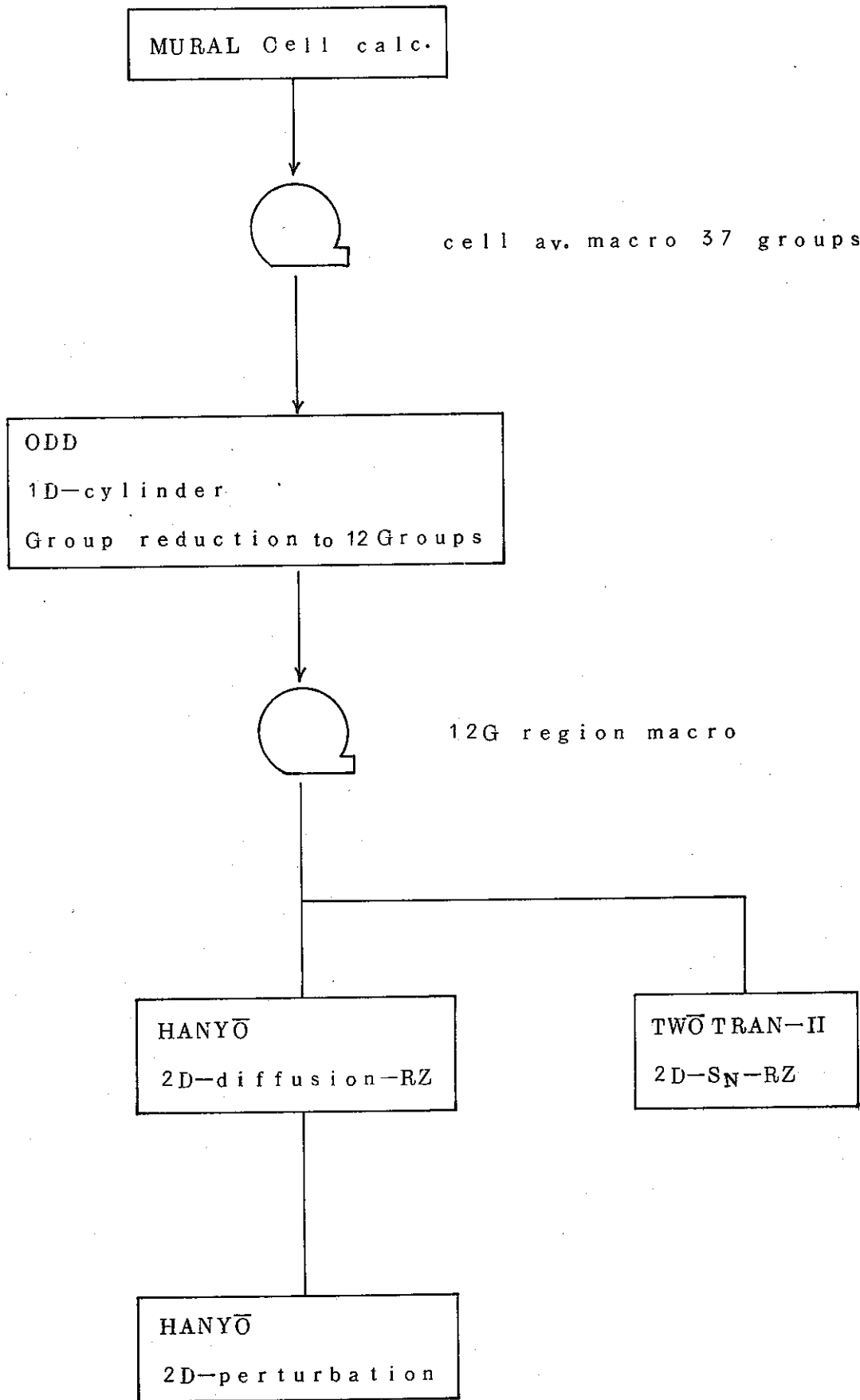
(2) バックリングの取扱い

(3) 格子管と引出しの取扱い

(4) Puプレートの取扱い

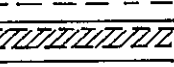
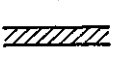
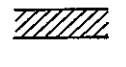
(5) B₁近似





第3図 計算の流れ図

T-Aセル

	10領域モデル	プレート番号	厚さ	領域厚さ
<u>Grid, Drawer</u>	<u>1/4 Grid</u>	25	2.25625	8.80625
	<u>+1/3 Drawer</u>	26		
Na	<u>+Na plate</u>	12	6.35	
Pu	<u>-----</u>  	<u>+1/2 Pu plate can</u> <u>Pu meat+Side cans</u>	22 21	0.20 1.15 1.15
DUO ₂		<u>1/2 Pu plate can</u>	22	0.20
		<u>+DUO₂</u>	11	6.35
Na		<u>Na plate</u>	12	6.35
Al ₂ O ₃		<u>+Al₂O₃(1/16)</u>	18	1.5875
DUO ₂		<u>DUO₂</u>	11	6.35
Pu	 	<u>+1/2 Pu plate can</u> <u>Pu meat+Side cans</u>	22 21	0.20 1.15 1.15
Na		<u>1/2 Pu plate can</u>	22	0.20
DUO ₂		<u>+Na plate</u>	12	6.35
Pu	 	<u>DUO₂</u> <u>+1/2 Pu plate can</u> <u>Pu meat+Side cans</u>	11 22 21	6.35 0.20 1.15 1.15
		<u>1/2 Pu plate can</u>	22	0.20
Na		<u>+Na plate</u>	12	6.35
		<u>+1/3 Drawer</u>	26	8.80625
<u>Grid, Drawer</u>	<u>+1/4 Grid</u>	25		
		Sum	55.20	55.2mm

 $\frac{1}{2}$ Grid + $\frac{1}{3}$ Drawer は

各領域に一様に混合する。

第4図 FCA VI-1 炉心 T-Aセルの領域モデル

T-Bセル

	12領域		フレート番号	厚さ	領域厚さ
<u>Grid, Drawr</u>		1/4 Grid	25		
		1/3 Drawer	26		8.60625
Na		Na plate	12	6.35	6.35
<u>DUO₂</u>		DUO ₂	11	6.35	6.35
		Na plate	12	6.35	
<u>Na</u> <u>Al₂O₃</u>		Al ₂ O ₃	18	1.5875	7.9375
DUO ₂		DUO ₂	11	6.35	6.35
		1/2 Pu plate can	22	0.20	
Pu		Pu meat+Side cans	21	1.15	1.15
Pu			22		
Pu		2×1/2 Pu plate can	22	0.40	0.40
		Pu meat+Side	21	1.15	1.15
			22		
Na		2×1/2 Pu plate can	22	0.40	0.40
		Pu meat+Side	21	1.15	1.15
<u>DUO₂</u>		1/2 Pu plate can	21	0.20	6.35
		Na plate	12	6.35	
Na		DUO ₂	11	6.35	6.35
		Na plate	12	6.35	
<u>Grid, Drawer</u>		1/3 Drawer	26		8.60625
		1/4 Grid	25		
				Sum 55.2	55.2 mm

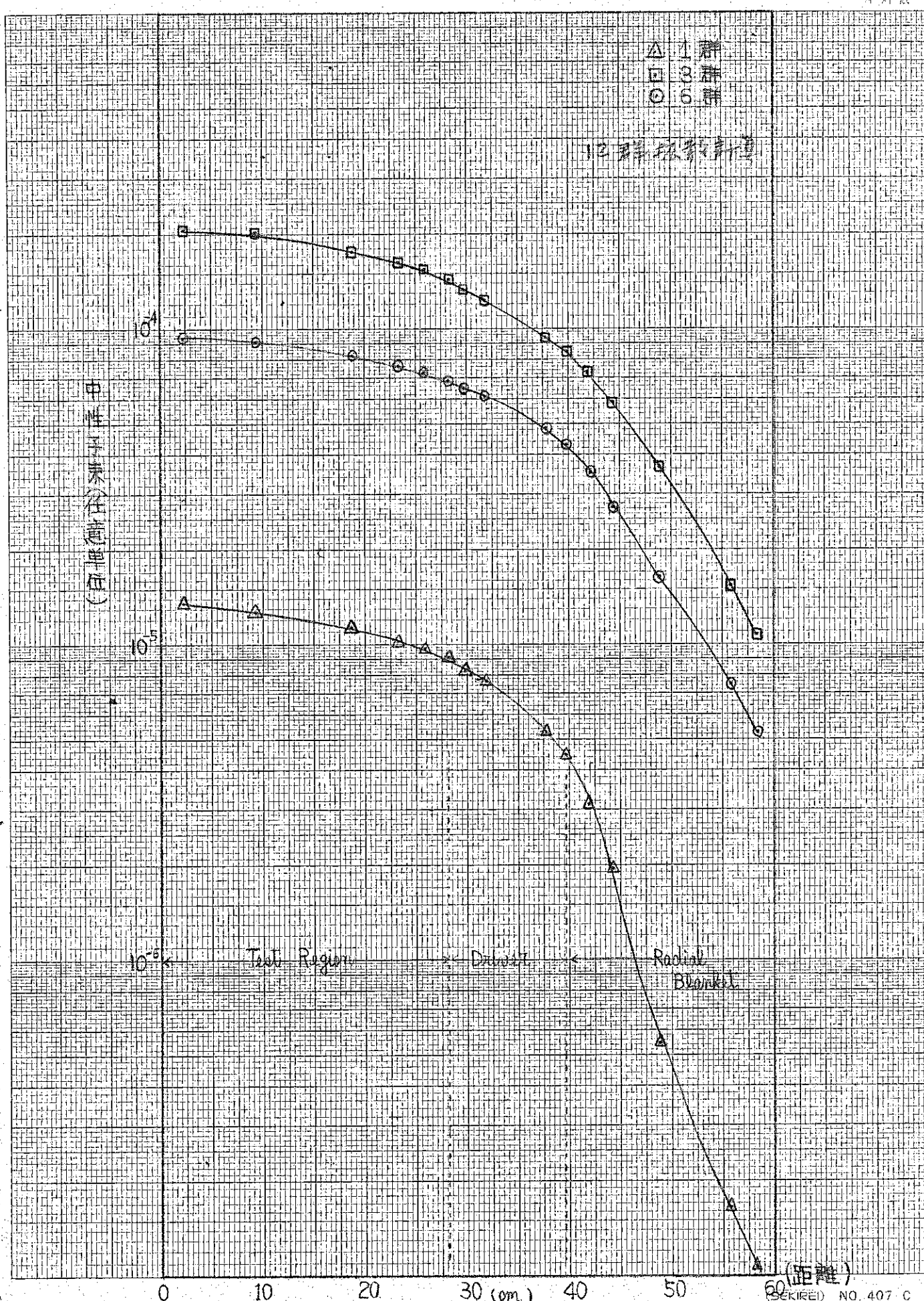
第5図 FCA-VI-1 炉心 T-Bセルの領域モデル

	5領域モデル	プレート番号	厚さ	領域厚さ(mm)
Grid,Drawer	1/4 Grid	25		
Na	+1/3 Drawer	26	2.2 3 7 5	8.5 8 7 5
	+Na plate	12	6.3 5	
DUO ₂	DUO ₂	11	6.3 5	
Pu 92%	+1/2 Pu plate can	22	0.2 0	6.5 5
	Pu meat	21	1.1 5	1.1 5
Na	1/2 Pu plate can	22	0.2 0	
Al ₂ O ₃ (1/16)	+Na plate	12	6.3 5	8.1 3 7 5
	+Al ₂ O ₃	18	1.5 8 7 5	
DUO ₂	1/2 DUO ₂	11	1/2 × 6.3 5	3.1 7 5
reflective		(11)		
			Sum $\frac{1}{2} \times 5.5.2$	Sum 27.6 mm = 27.6

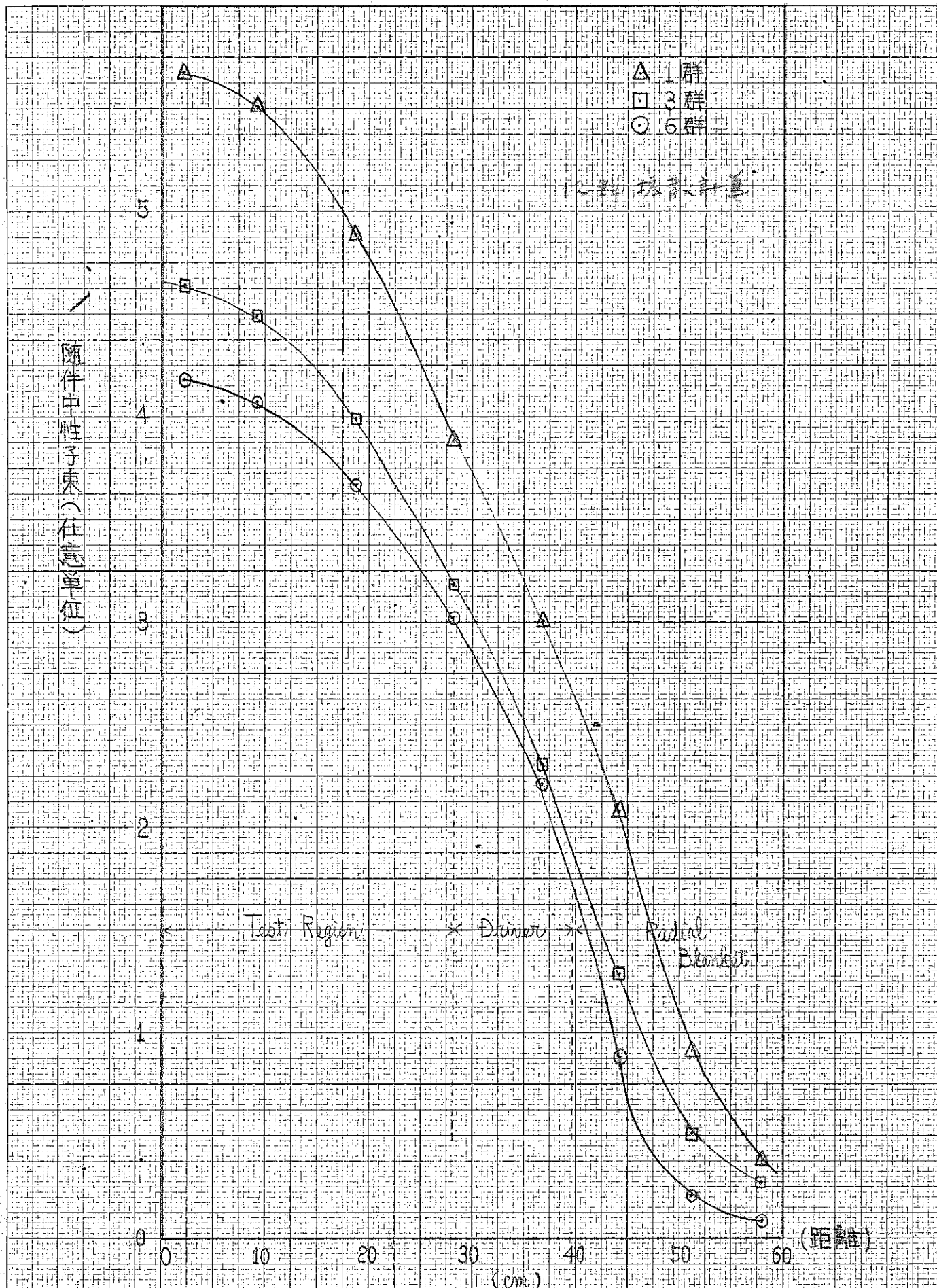
第6図 FCA-VI-2 T-Aセル 基準モデル

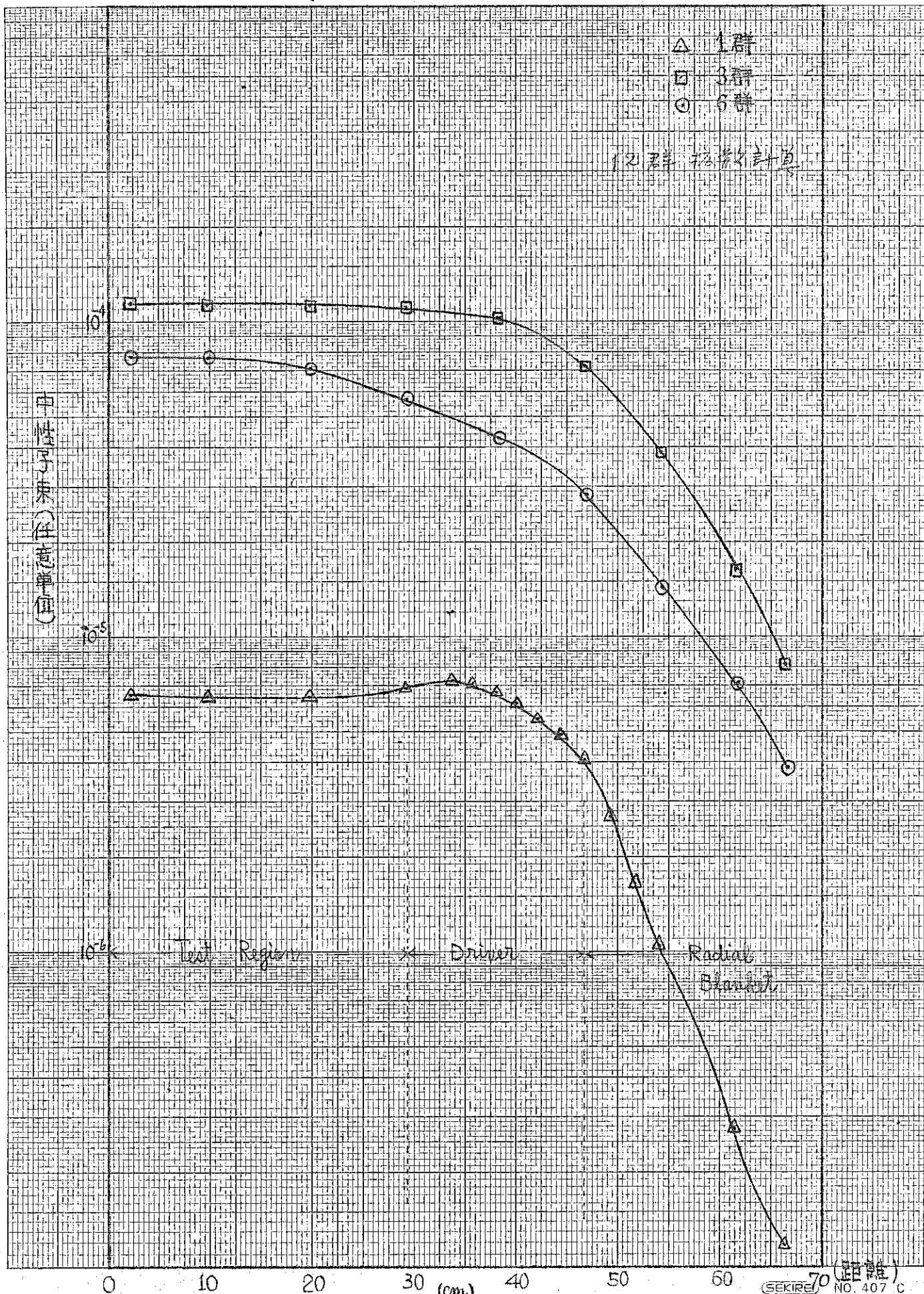
	5領域モデル	プレート番号	厚さ	領域厚さ(mm)
Grid,Drawer	1/4 Grid	25		
Na	+1/3 Drawer	26	2.2 3 7 5	8.5 8 7 5
	+Na plate	12	6.3 5	
Na	Na plate	12	6.3 5	
Al ₂ O ₃	+Al ₂ O ₃	18	1.5 8 7 5	7.9 3 7 5
DUO ₂	DUO ₂	11	6.3 5	
Pu	+1/2 Pu plate can	22	0.2 0	6.5 5
	Pu	21	1.1 5	1.1 5
	1/2 Pu plate can	22	0.2 0	3.3 7 5
DUO ₂	+DUO ₂	11	1/2 × 6.3 5	
reflective				Sum 27.6

第7図 FCA-VI-2 T-Gセルモデル



第8図 FCA-VI-1 炉心の中性子束分布





*10図 FCA-VI-2 炉心の中性子束分布

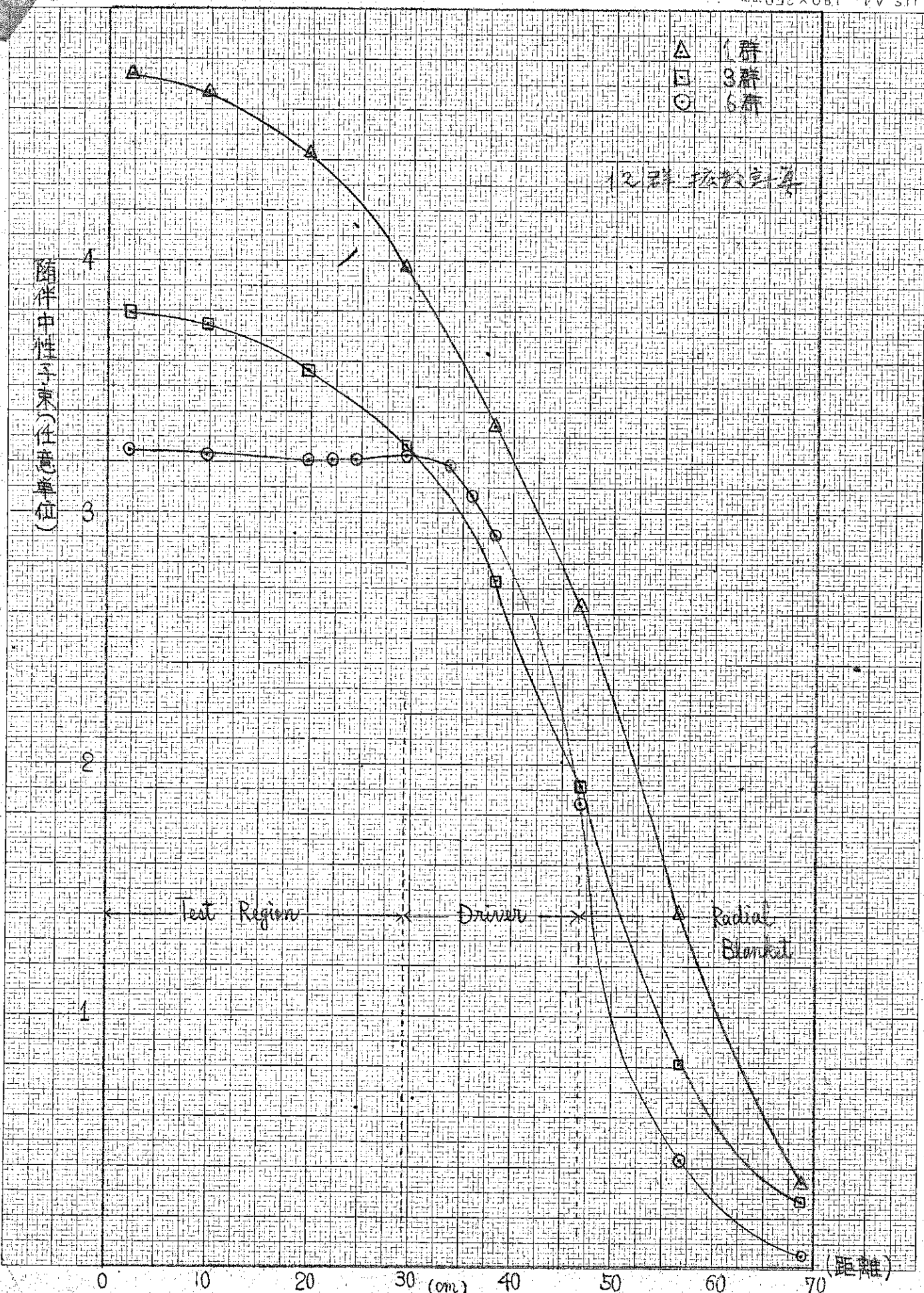


図11 FCA-II-2 反応堆の随伴中性子束分布

	11領域モデル	プレート番号	厚さ	領域厚さ (mm)
Grid, Drawer	$\frac{1}{4}$ Grid, $\frac{1}{3}$ Drawer	25		
	$\frac{1}{2}$ Na plate can	26	2.2375	2.8075
Na		24	0.57	
DUO ₂	Na meat+sides	23	5.21	5.21
	$\frac{1}{2}$ can	24	0.57	0.57
Pu ^{92%}	DUO ₂	11	6.35	6.35
	$\frac{1}{2}$ can	22	0.20	0.20
	Pu meat	21	1.15	1.15
	$\frac{1}{2}$ can	22	0.20	
	+ $\frac{1}{2}$ Na can	24	0.57	0.77
Na		23	5.21	5.21
Al ₂ O ₃ (1/16)	Al ₂ O ₃ $\frac{1}{2}$ can	24	0.57	0.57
DUO ₂	$\frac{1}{2}$ DUO ₂	11	$\frac{1}{2} \times 6.35$	3.175
reflective				Sum 27.6 mm

第12図 T-Aセル 詳細モデル (FCA-VI-2)

T-A ヒル	5領域モデル	プレート番号	厚さ	領域厚さ (mm)
Grid, Drawer	Grid, Drawer	25		
Na		26		8.5875
Na	+Na	12		
DUO ₂	DUO ₂	11		6.35
Pu ^{92%}	Pu	1		1.55
Al ₂ O ₃ (1/16)	Na+Al ₂ O ₃	12		7.9375
DUO ₂		18		
DUO ₂	DUO ₂	11	$\frac{1}{2} \times 6.35$	3.175
reflective				Sum 27.6 mm

第13図 Puプレートの取扱い検討用モデル (FCA-VI-2, T-A)

謝 辞

FGL5用MURALコードの整備にあたって協力を戴いた動力炉、核燃料開発事業団R&Dグループ瑞慶覧篤氏に感謝します。また、本実験解析を行なうにあたって、助言と協力を戴いた、同じくR&Dグループの金城勝哉氏に感謝します。

また、本解析を行なうにあたり、協力を戴いた三菱原子力動力炉開発部 菅原彬氏、中沢春美氏に感謝します。

参考資料

- (1) Macdougall, J. D., Ross, R. W. and Rowlands, J. L. "The Calculation of Neutron Spectra and Group Averaged Cross Sections using the Computer Programme FRESCO and MURAL", AEEW-M843 (1968)
- (2) 瑞慶覧 篤
UK コード システム マニュアル(3) 一多領域セル 計算コード MURAL-
- (3) Rowlands J. L et al.
"The FGL5 and FD5 Cross-Section Sets", MTN/81
- (4) 中村 久
"UK断面積ライブリーFGL5について" モーツァルト派遣団研究報告書(6)
- (5) Macdougall J. D., and Rowlands J. L,
"The calculation of Resonance Shielding Factors in FRESCO and MURAL" AEEW-M848 (1968)
- (6) PNC高速増殖炉本部
"FCA VI-1 廉心実験データ(I)" 1973年1月
- (7) 原研高速炉物理研究室
"FCAによる高速原型炉模擬実験, FCA VI-2" 1973年7月
- (8) 日立製作所
"モーツァルト実験解析(II), vol III, FCA VI-1"

SJ 202 73-09 (1973)